

Э. Г. БООС, Т. ТЕМИРАЛИЕВ, М. ИЗБАСАРОВ,
В. В. САМОЙЛОВ, А. И. ФЕДОСИМОВА
(Физико-технический институт, г. Алматы)

ИССЛЕДОВАНИЕ КОРРЕЛЯЦИИ СФЕРИСИТИ СОБЫТИЙ С ПАРЦИАЛЬНЫМ КОЭФФИЦИЕНТОМ НЕУПРУГОСТИ В АНТИПРОТОН-ПРОТОННЫХ ВЗАИМОДЕЙСТВИЯХ ПРИ 22.4 ГЭВ/С

Аннотация. Установлено, что во всех каналах реакции большие значения сферисити наблюдаются при больших значениях K_{π^\pm} . Распределение парциального коэффициента неупругости для заряженных мезонов в неаннигиляционном канале $\bar{p}p$ -взаимодействий находится в области $K_{\pi^\pm} < 0.5$, в то время как в аннигиляционном канале распределение K_{π^\pm} сосредоточено в области $K_{\pi^\pm} > 0.5$.

Ключевые слова: антипротон-протонное взаимодействие, мезон, поперченость.

Тірек сөздер: антипротон-протон эрекеттестігі, мезон, көлденен.

Keywords: antiproton-proton interaction, meson, across.

Установление связи между коллективными переменными *сферисити* S и парциальным коэффициентом неупругости K_{π^\pm} для разных каналов реакций в антипротон-протонных взаимодействиях представляет определенный интерес для выяснения динамики множественных процессов.

Распределение частиц в импульсном пространстве в индивидуальных взаимодействиях количественно описывается *сферисити* S [1-3]

$$S = \frac{3}{2} \min \sum_{i=1}^{n_{\pi^\pm}} p_\perp^2 / \sum_i^n \vec{p}^2,$$

а парциальный коэффициент неупругости π^\pm – мезонов определяется выражением $K_{\pi^\pm} = \sum_{i=1}^{n_{\pi^\pm}} E_{\pi^\pm} / E_0$, где $p^2, p_\perp^2, n_{\pi^\pm}, E_{\pi^\pm}$ и E_0 соответственно квадраты импульса, поперечного импульса, количество мезонов, энергия мезонов и полная энергия взаимодействия в системе центра масс.

В работе анализируются антипротон-протонные взаимодействия, зарегистрированные в водородной пузырьковой камере ОИЯИ «Людмила» при облучении антипротонным пучком с импульсом 22.4 ГэВ/с на ускорителе У-70 в Серпухове (Россия).

По разработанной ранее методике [4] были выделены следующие каналы неупругих реакций:



где m – число $(\pi^+ \pi^-)$ пар и x^0 – вклад нейтральных частиц.

На рис. 1 показаны корреляции между *сферисити* S и парциальным коэффициентом неупругости K_{π^\pm} , а также распределения по переменной S и K_{π^\pm} , относящихся к аннигиляционному каналу $\bar{p}p \rightarrow m(\pi^+ \pi^-)x^0$ в трех группах, соответствующих множественностям $n \geq 2$ (рис. 1 а), $n \geq 6$ (рис. 1 б) и $n \geq 8$ (рис. 1 в).

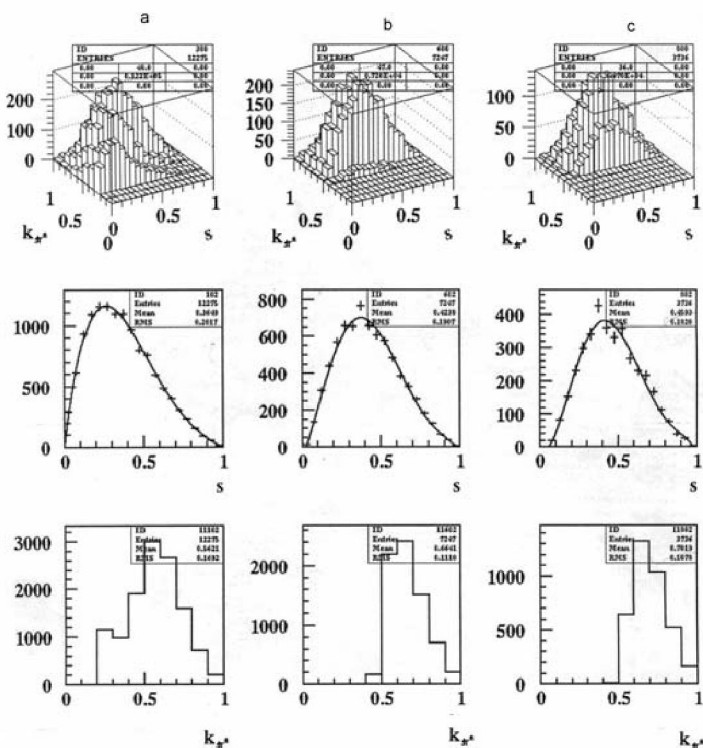


Рисунок 1 – Реакция антипротон-протонной аннигиляции $\bar{p}p \rightarrow m(\pi^+ \pi^-)x^0$

Жесткая корреляция между *сферисити* мезонов S и парциальным коэффициентом неупругости K_{π^\pm} не наблюдается во всех вышерассмотренных трех группах взаимодействий, тем не менее наблюдаются преимущественно большие значения *сферисити* при больших значениях K_{π^\pm} .

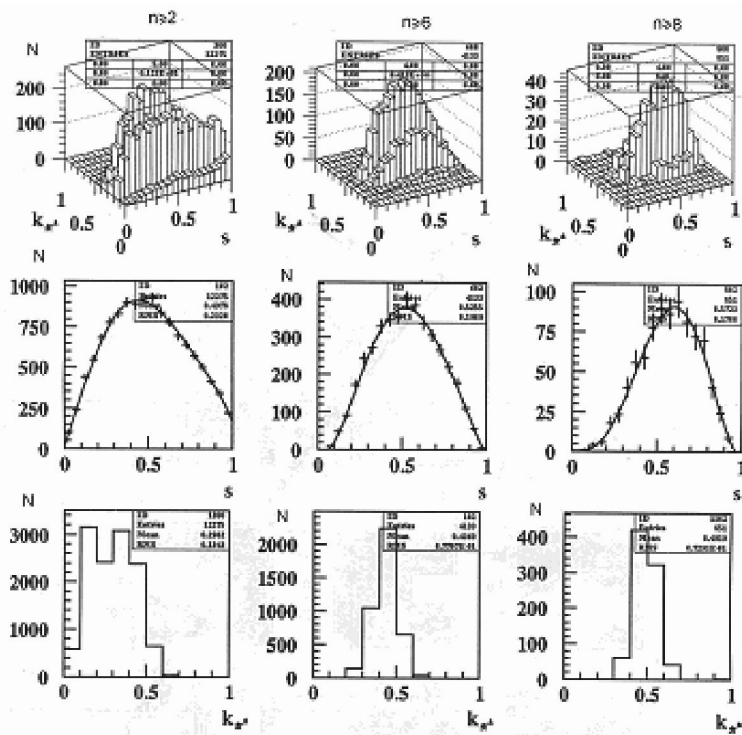
Максимум распределений S и само распределение смещаются в сторону больших значений S , при этом распределение *сферисити* становится симметричным с ростом числа рожденных частиц. Кривые, приведенные на рис. 1 для групп с $n \geq 2$, $n \geq 6$ и $n \geq 8$, получены аппроксимацией полиномов пятой степени.

Распределение парциального коэффициента неупругости K_{π^\pm} в основном концентрировано в области $K_{\pi^\pm} > 0.5$. Распределение K_{π^\pm} смещается в сторону больших значений K_{π^\pm} с ростом частиц в конечном состоянии. Среднее значение $\langle S \rangle$, $\langle K_{\pi^\pm} \rangle$, дисперсии σ_S^2, σ_K^2 , количество обработанных событий N , множественность n и количество заряженных мезонов приведены в таблице 1.

Таблица 1 – Среднее значение $\langle S \rangle$, $\langle K_{\pi^\pm} \rangle$ и дисперсии σ_S^2, σ_K^2 при 22.4 ГэВ/с

Параметр Реакция	n	n_{π^\pm}	N	$\langle S \rangle$	σ_S^2	$\langle K_{\pi^\pm} \rangle$	σ_K^2
1	2	3	4	5	6	7	8
$\bar{p}p \rightarrow m(\pi^+ \pi^-)x^0$	≥ 2	≥ 2	12275	0.365 \pm 0.007	0.202	0.562 \pm 0.010	0.169
	≥ 6	≥ 6	7247	0.424 \pm 0.010	0.191	0.664 \pm 0.016	0.111
	≥ 8	≥ 8	3736	0.459 \pm 0.015	0.182	0.702 \pm 0.022	0.108
Окончание табл. 1							
1	2	3	4	5	6	7	8
$\bar{p}p \rightarrow \bar{n}nm(\pi^+ \pi^-)x^0$	≥ 2	≥ 2	12434	0.497 \pm 0.009	0.232	0.295 \pm 0.005	0.134
	≥ 6	≥ 6	4133	0.526 \pm 0.016	0.191	0.436 \pm 0.014	0.077
	≥ 8	≥ 8	851	0.572 \pm 0.039	0.170	0.492 \pm 0.034	0.073
$\bar{p}p \rightarrow \bar{p}pm(\pi^+ \pi^-)x^0$	≥ 4	≥ 2	10470	0.374 \pm 0.008	0.262	0.226 \pm 0.004	0.104
	≥ 6	≥ 4	1679	0.434 \pm 0.022	0.224	0.318 \pm 0.016	0.098
	≥ 8	≥ 6	167	0.492 \pm 0.078	0.197	0.419 \pm 0.065	0.103
$\bar{p}p \rightarrow n\bar{p}\pi^+ m(\pi^+ \pi^-)x^0$	≥ 2	≥ 1	13337	0.399 \pm 0.007	0.269	0.285 \pm 0.005	0.168
	≥ 6	≥ 5	4359	0.458 \pm 0.014	0.210	0.442 \pm 0.014	0.119
	≥ 8	≥ 7	891	0.486 \pm 0.032	0.192	0.523 \pm 0.035	0.112
$\bar{p}p \rightarrow \bar{n}p\pi^- m(\pi^+ \pi^-)x^0$	≥ 2	≥ 1	9641	0.405 \pm 0.008	0.268	0.260 \pm 0.005	0.168
	≥ 6	≥ 5	1736	0.411 \pm 0.020	0.192	0.449 \pm 0.021	0.126
	≥ 8	≥ 7	356	0.439 \pm 0.047	0.171	0.550 \pm 0.058	0.125

Нас рис. 2 представлены аналогичные графики, как на рис. 1 для реакции перезарядки протона и антiproтона на нейtron и антинейtron. Это канал неупругой перезарядки $\bar{p}p$ – взаимодействий привлекательны тем, что число наблюдаемых заряженных мезонов одинаково в конечном состоянии с каналом антiproton-протонной аннигиляции при определенной множественности.

Рисунок 2 – Реакция перезарядки $\bar{p}p \rightarrow p\bar{n}m(\pi^+\pi^-)x^0$

Прямой зависимости между коллективными переменными S и K_{π^\pm} не наблюдается, при этом большие значения S наблюдаются преимущественно при больших значениях K_{π^\pm} . Характер изменения переменных S и K_{π^\pm} с ростом множественности совпадает с реакцией антитрон-протонной аннигиляции (табл. 1), но вылет мезонов более сферичен в реакции перезарядки, чем в реакции аннигиляции. Распределение *сферисити* мезонов S хорошо описывается полиномом пятой степени.

На рис. 3 приведена зависимость *сферисити* событий от парциального коэффициента неупругости K_{π^\pm} и дифференциальные распределения этих величин в реакции $\bar{p}p \rightarrow \bar{p}pm(\pi^+\pi^-)x^0$.

Распределение *сферисити* событий и среднее значение $\langle S \rangle$ в реакции $\bar{p}p \rightarrow \bar{p}pm(\pi^+\pi^-)x^0$ отличаются от соответствующих распределений в реакции перезарядки протона и антитрона при одинаковом числе заряженных мезонов в конечном состоянии (табл. 1).

Распределение K_{π^\pm} в реакции (2) и (3) концентрированы в области $K_{\pi^\pm} < 0.5$, тогда как в антитрон-протонной аннигиляции в области $K_{\pi^\pm} \geq 0.5$.

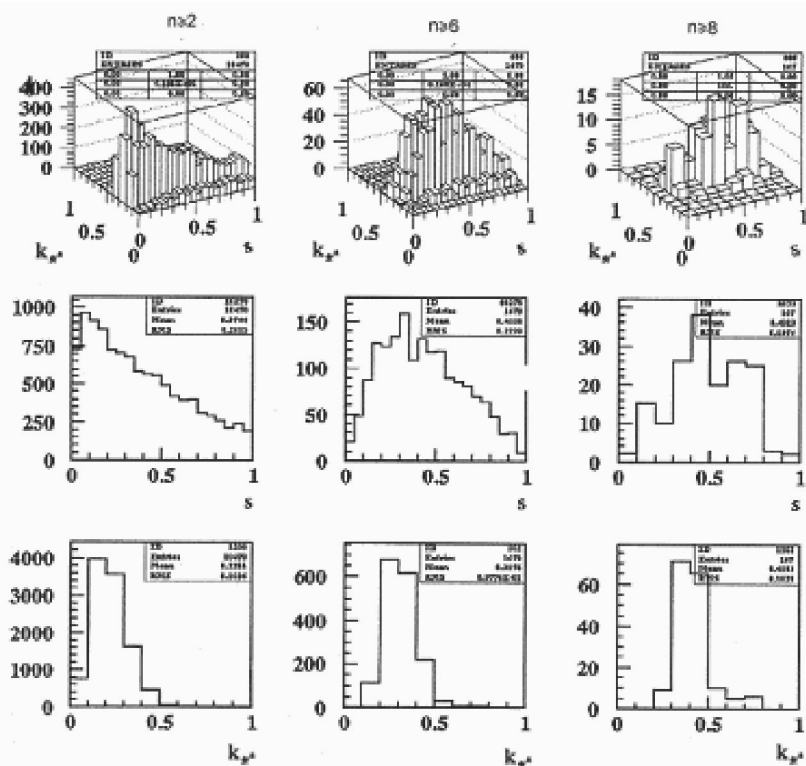


Рисунок 3 – Реакция $\bar{p}p \rightarrow \bar{p}pm(\pi^+\pi^-)x^0$

На рис. 4 и 5 приведены зависимости *сферисити* от парциального коэффициента неупругости K_{π^\pm} , а также распределения по переменной S и K соответственно для реакции $\bar{p}p \rightarrow n\bar{p}\pi^+m(\pi^+\pi^-)x^0$ и $\bar{p}p \rightarrow \bar{n}p\pi^-m(\pi^+\pi^-)x^0$.

Распределение по переменной S и K_{π^\pm} в реакции перезарядки только протона $\bar{p}p \rightarrow n\bar{p}\pi^+m(\pi^+\pi^-)x^0$ и в реакции перезарядки только антiprotona $\bar{p}p \rightarrow \bar{n}p\pi^-m(\pi^+\pi^-)x^0$ схожи, а среднее значение совпадает в пределах двухкратной статистической ошибки (табл. 1) при одинаковой множественности.

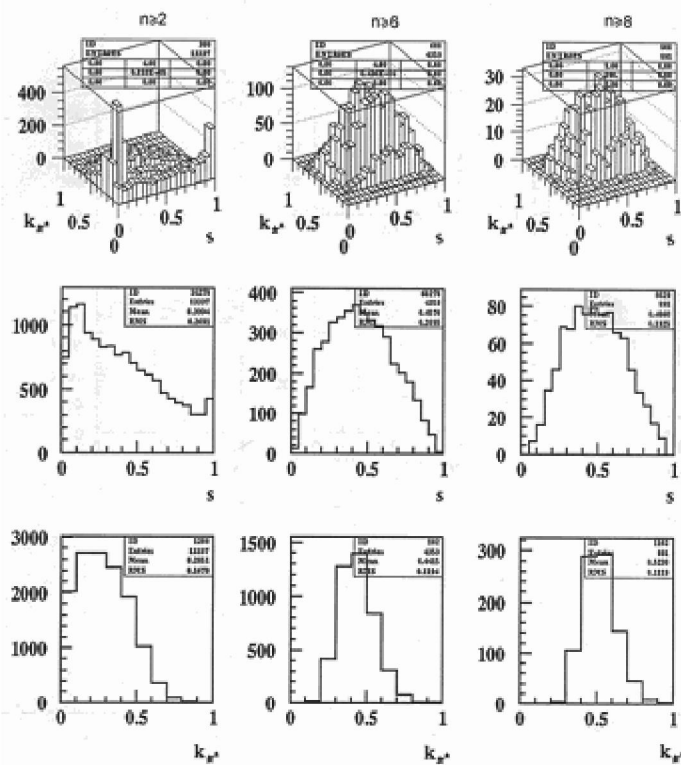


Рисунок 4 – Реакция перезарядки протон на нейтрон $\bar{p}p \rightarrow n\bar{p}\pi^+ m(\pi^+\pi^-)x^0$

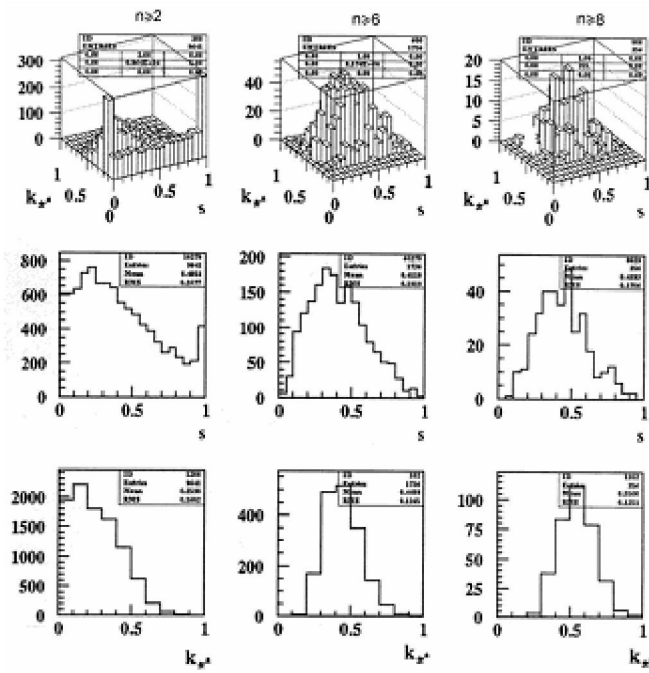


Рисунок 5 – Реакция перезарядки антипротон на антинейтрон $\bar{p}p \rightarrow \bar{n}p\pi^- m(\pi^+\pi^-)x^0$

В заключении отметим результаты сравнительного анализа данных:

1. Из корреляционного анализа зависимости S от K_{π^\pm} следует, что во всех вышерассмотренных реакциях наблюдаются преимущественно большие значения *сферисити* при больших значениях K_{π^\pm} .

2. Испускание мезонов более сферично в реакции перезарядки протона и антипротона на нейтрон и антинейтрон, чем в событиях антипротон-протонной аннигиляции.

3. Распределение парциального коэффициента неупругости для заряженных мезонов в неаннигиляционном канале $\bar{p}p$ - взаимодействий находится в области $K_{\pi^\pm} < 0.5$, в то время в аннигиляционном канале распределение K_{π^\pm} сосредоточено в области $K_{\pi^\pm} > 0.5$.

Эти результаты имеют важное значение при сопоставлении различных теоретических моделей, описывающих процессы «мягкой адронизации».

Работа выполнена благодаря гранту №1471/ГФ2 МОН РК «Исследование динамики многочастичных реакций в экспериментах на ускорителях и в космических лучах на уровне гор» по приоритету «Фундаментальные исследования в области естественных наук».

ЛИТЕРАТУРА

- 1 Hanson G. et. al. // Phys. Rev. Lett. 35. P.1609, 1975.
- 2 Мурзин В.С., Сарычева Л.И. // В.кн. «Взаимодействия адронов высоких энергий», Изд. «Наука», Москва, 1983.
- 3 Гришин В.Г. и др. // Ядерная физика. – 1983. – Т.37. С.915.
- 4 Боос Э.Г., Темиралиев Т. и др. // Известия МОН-НАН РК. Сер. Физ.-мат.. – 2000. – № 2. – С.35.

Резюме

Э. Г. Боос, Т. Темиралиев, М. Избасаров, В. В. Самойлов, А. И. Федосимова

ИМПУЛЬСІ 22,4 ГЭВ/С АНТИПРОТОН — ПРОТОНДЫҚ ӘРЕКЕТТЕСТІКТЕРДЕ ОҚИҒА СФЕРИСИТАСЫНЫҢ ҮЛЕСТІК СЕРПІМСІЗДІК КОЭФФИЦІЕНТІНЕ БАЙЛАНЫСТЫЛЫҒЫН ЗЕРТТЕУ

Реакцияның барлық арналарында сфериситаның жоғары мәндері үlestік серпімсіздік коэффициенті K_{π^\pm} – тің жоғары мәндерінде байқалғаны аңыкталды. $\bar{p}p$ – әрекеттестіктің аннигиляциялық емес арнасында зарядталған мезондардың үlestік серпімсіздік коэффициентінің таралымы $K_{\pi^\pm} < 0.5$ аймағында орналасқан, ал аннигиляциялық арнада K_{π^\pm} таралымы $K_{\pi^\pm} > 0.5$ аймағында шоғырланған.

Summary

E. G. Boos, T. Temiraliev, M. Izbasarov, V. V. Samoilov, A. I. Fedosimova

THE INVESTIGATION OF CORRELATION OF SPHERICITY EVENTS WITH PARTIAL INELASTICITY COEFFICIENT IN ANTIPIRON – PROTON INVESTIGATIONS AT 22,4 GEV/C

It is established that in all channels of reaction big values of sphericity are observed at big values K_{π^\pm} . Distribution of partial coefficient of unelasticity for charged mesons in non-annihilation channel of $\bar{p}p$ -interactions is placed in the area $K_{\pi^\pm} < 0.5$, at that time in the annihilation channel the distribution K_{π^\pm} is concentrated in the area $K_{\pi^\pm} > 0.5$.

Поступила 2014 г.